

Stabilita kritických bodov lineárnych sústav obyčajných diferenciálnych rovníc (SODR)

V tejto kapitole využijeme systém *Mathematica* k štúdiu stability kritických bodov dvoch lineárnych rovníc SODR.

Ak je SODR lineárny a homogénný $X' = AX$ s konštantnými koeficientmi a matica A nie je singulárna, potom jediným kritickým bodom je začiatok a jeho stabilitu môžeme preskúmať pomocou vlastných čísel matice A .

Príklad 1.

Porovnajte nasledujúci SODR, overte ich rozdielne správanie pomocou analýzy stability v kritickom bode:

- a) $x' = 3x - y$, $y' = 2x + y$.
- b) $x' = x + 5y$, $y' = -x - y$.
- c) $x' = x - 5y$, $y' = -x - y$.

Riešenie

Poznámka: Tieto tri sústavy sú autonómne, lineárne s konštantnými koeficientmi a s jediným kritickým bodom v začiatku súradnicovej sústavy.

Niektoré trajektórie je možné reprezentovať pomocou fázových rovín.

■ Sekcia a.

SODR môžeme riešiť v Mathematice pomocou príkazu **DSolve**

```
sis31a = {x'[t] == 3 x[t] - y[t], y'[t] == 2 x[t] + y[t]}
```

```
{x'[t] == 3 x[t] - y[t], y'[t] == 2 x[t] + y[t]}
```

```
solgen31a = DSolve[sis31a, {x[t], y[t]}, t]
```

```
{ {x[t] → -e^2 t C[2] Sin[t] + e^2 t C[1] (Cos[t] + Sin[t]),  
y[t] → e^2 t C[2] (Cos[t] - Sin[t]) + 2 e^2 t C[1] Sin[t]} }
```

Riešenia $x(t)$ a $y(t)$ sú definované:

```
x[t_] = solgen31a[[1, 1, 2]]
```

$$-e^{2t} C[2] \sin[t] + e^{2t} C[1] (\cos[t] + \sin[t])$$

```
y[t_] = solgen31a[[1, 2, 2]]
```

$$e^{2t} C[2] (\cos[t] - \sin[t]) + 2 e^{2t} C[1] \sin[t]$$

Pre niektoré hodnoty konštánt môžeme konkrétnie riešenia vygenerovať pomocou príkazu **Table**

```
solpar31a = Table[{x[t], y[t]} /. {C[1] -> i, C[2] -> j}, {i, -6, 6, 4}, {j, -6, 6, 4}]
```

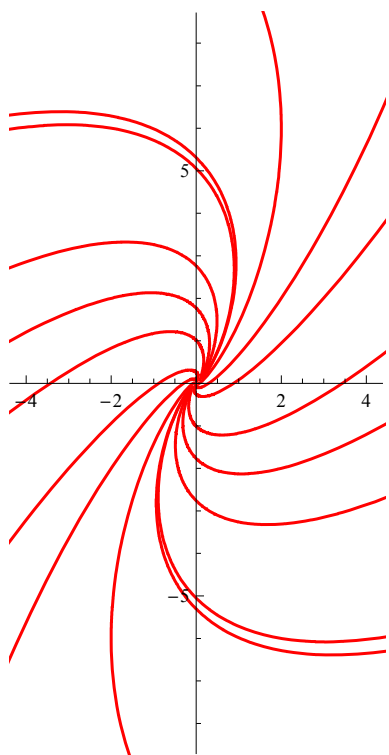
$$\left\{ \begin{array}{l} \left\{ \begin{array}{l} \{6 e^{2t} \sin[t] - 6 e^{2t} (\cos[t] + \sin[t]), -6 e^{2t} (\cos[t] - \sin[t]) - 12 e^{2t} \sin[t]\}, \\ \{2 e^{2t} \sin[t] - 6 e^{2t} (\cos[t] + \sin[t]), -2 e^{2t} (\cos[t] - \sin[t]) - 12 e^{2t} \sin[t]\}, \\ \{-2 e^{2t} \sin[t] - 6 e^{2t} (\cos[t] + \sin[t]), 2 e^{2t} (\cos[t] - \sin[t]) - 12 e^{2t} \sin[t]\}, \\ \{-6 e^{2t} \sin[t] - 6 e^{2t} (\cos[t] + \sin[t]), 6 e^{2t} (\cos[t] - \sin[t]) - 12 e^{2t} \sin[t]\}\} \end{array} \right\}, \\ \left\{ \begin{array}{l} \{6 e^{2t} \sin[t] - 2 e^{2t} (\cos[t] + \sin[t]), -6 e^{2t} (\cos[t] - \sin[t]) - 4 e^{2t} \sin[t]\}, \\ \{2 e^{2t} \sin[t] - 2 e^{2t} (\cos[t] + \sin[t]), -2 e^{2t} (\cos[t] - \sin[t]) - 4 e^{2t} \sin[t]\}, \\ \{-2 e^{2t} \sin[t] - 2 e^{2t} (\cos[t] + \sin[t]), 2 e^{2t} (\cos[t] - \sin[t]) - 4 e^{2t} \sin[t]\}, \\ \{-6 e^{2t} \sin[t] - 2 e^{2t} (\cos[t] + \sin[t]), 6 e^{2t} (\cos[t] - \sin[t]) - 4 e^{2t} \sin[t]\}\} \end{array} \right\}, \\ \left\{ \begin{array}{l} \{6 e^{2t} \sin[t] + 2 e^{2t} (\cos[t] + \sin[t]), -6 e^{2t} (\cos[t] - \sin[t]) + 4 e^{2t} \sin[t]\}, \\ \{2 e^{2t} \sin[t] + 2 e^{2t} (\cos[t] + \sin[t]), -2 e^{2t} (\cos[t] - \sin[t]) + 4 e^{2t} \sin[t]\}, \\ \{-2 e^{2t} \sin[t] + 2 e^{2t} (\cos[t] + \sin[t]), 2 e^{2t} (\cos[t] - \sin[t]) + 4 e^{2t} \sin[t]\}, \\ \{-6 e^{2t} \sin[t] + 2 e^{2t} (\cos[t] + \sin[t]), 6 e^{2t} (\cos[t] - \sin[t]) + 4 e^{2t} \sin[t]\}\} \end{array} \right\}, \\ \left\{ \begin{array}{l} \{6 e^{2t} \sin[t] + 6 e^{2t} (\cos[t] + \sin[t]), -6 e^{2t} (\cos[t] - \sin[t]) + 12 e^{2t} \sin[t]\}, \\ \{2 e^{2t} \sin[t] + 6 e^{2t} (\cos[t] + \sin[t]), -2 e^{2t} (\cos[t] - \sin[t]) + 12 e^{2t} \sin[t]\}, \\ \{-2 e^{2t} \sin[t] + 6 e^{2t} (\cos[t] + \sin[t]), 2 e^{2t} (\cos[t] - \sin[t]) + 12 e^{2t} \sin[t]\}, \\ \{-6 e^{2t} \sin[t] + 6 e^{2t} (\cos[t] + \sin[t]), 6 e^{2t} (\cos[t] - \sin[t]) + 12 e^{2t} \sin[t]\}\} \end{array} \right\} \end{array} \right\}$$

Ak v predchádzajúcej tabuľke odstráníme jednu úroveň pomocou príkazu **Flatten**, vytvoríme tak zoznam funkcií, ktorý je možné reprezentovať graficky.

```
solpar31abis = Flatten[solpar31a, 1]
```

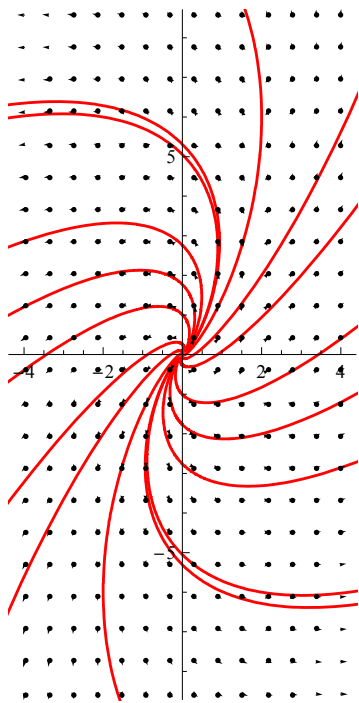
$$\begin{aligned} & \left\{ 6e^{2t} \sin[t] - 6e^{2t} (\cos[t] + \sin[t]), -6e^{2t} (\cos[t] - \sin[t]) - 12e^{2t} \sin[t] \right\}, \\ & \left\{ 2e^{2t} \sin[t] - 6e^{2t} (\cos[t] + \sin[t]), -2e^{2t} (\cos[t] - \sin[t]) - 12e^{2t} \sin[t] \right\}, \\ & \left\{ -2e^{2t} \sin[t] - 6e^{2t} (\cos[t] + \sin[t]), 2e^{2t} (\cos[t] - \sin[t]) - 12e^{2t} \sin[t] \right\}, \\ & \left\{ -6e^{2t} \sin[t] - 6e^{2t} (\cos[t] + \sin[t]), 6e^{2t} (\cos[t] - \sin[t]) - 12e^{2t} \sin[t] \right\}, \\ & \left\{ 6e^{2t} \sin[t] - 2e^{2t} (\cos[t] + \sin[t]), -6e^{2t} (\cos[t] - \sin[t]) - 4e^{2t} \sin[t] \right\}, \\ & \left\{ 2e^{2t} \sin[t] - 2e^{2t} (\cos[t] + \sin[t]), -2e^{2t} (\cos[t] - \sin[t]) - 4e^{2t} \sin[t] \right\}, \\ & \left\{ -2e^{2t} \sin[t] - 2e^{2t} (\cos[t] + \sin[t]), 2e^{2t} (\cos[t] - \sin[t]) - 4e^{2t} \sin[t] \right\}, \\ & \left\{ -6e^{2t} \sin[t] - 2e^{2t} (\cos[t] + \sin[t]), 6e^{2t} (\cos[t] - \sin[t]) - 4e^{2t} \sin[t] \right\}, \\ & \left\{ 6e^{2t} \sin[t] + 2e^{2t} (\cos[t] + \sin[t]), -6e^{2t} (\cos[t] - \sin[t]) + 4e^{2t} \sin[t] \right\}, \\ & \left\{ 2e^{2t} \sin[t] + 2e^{2t} (\cos[t] + \sin[t]), -2e^{2t} (\cos[t] - \sin[t]) + 4e^{2t} \sin[t] \right\}, \\ & \left\{ -2e^{2t} \sin[t] + 2e^{2t} (\cos[t] + \sin[t]), 2e^{2t} (\cos[t] - \sin[t]) + 4e^{2t} \sin[t] \right\}, \\ & \left\{ -6e^{2t} \sin[t] + 2e^{2t} (\cos[t] + \sin[t]), 6e^{2t} (\cos[t] - \sin[t]) + 4e^{2t} \sin[t] \right\}, \\ & \left\{ 6e^{2t} \sin[t] + 6e^{2t} (\cos[t] + \sin[t]), -6e^{2t} (\cos[t] - \sin[t]) + 12e^{2t} \sin[t] \right\}, \\ & \left\{ 2e^{2t} \sin[t] + 6e^{2t} (\cos[t] + \sin[t]), -2e^{2t} (\cos[t] - \sin[t]) + 12e^{2t} \sin[t] \right\}, \\ & \left\{ -2e^{2t} \sin[t] + 6e^{2t} (\cos[t] + \sin[t]), 2e^{2t} (\cos[t] - \sin[t]) + 12e^{2t} \sin[t] \right\}, \\ & \left\{ -6e^{2t} \sin[t] + 6e^{2t} (\cos[t] + \sin[t]), 6e^{2t} (\cos[t] - \sin[t]) + 12e^{2t} \sin[t] \right\} \end{aligned}$$

```
graf131a = ParametricPlot[Evaluate[solpar31abis],
 {t, -2, 0.5`}, PlotStyle -> {{RGBColor[1, 0, 0], Thickness[0.008`]}]}
```



V nasledujúcom obrázku sme spoločne reprezentovali riešenie a smerové polia riešenia SODR.

```
graf231a = (Needs["VectorFieldPlots`"];
  VectorFieldPlots`VectorFieldPlot[{3 x - y, 2 x + y}, {x, -15, 15}, {y, -20, 20},
   PlotPoints → 50, DisplayFunction → Identity, BaseStyle → {GrayLevel[0.2`]}]);
Show[graf131a, graf231a]
```



Trajektórie sa vzdialujú od začiatku súradnicovej sústavy (zatáčajú sa do tvaru špirály), ak zväčšujeme t , a opačne sú blízko k začiatku súradnicovej sústavy, ak je t menšie ako 0. Toto správanie sa dá vysvetliť po podrobnejšom preskúmaní matice koeficientov SODR.

Matica asociovaná so sústavou je definovaná:

$$\mathbf{a} = \begin{pmatrix} 3 & -1 \\ 2 & 1 \end{pmatrix}$$

$\{\{3, -1\}, \{2, 1\}\}$

Jej vlastné čísla nájdeme takto:

```
Eigenvalues[a]
```

{2 + i, 2 - i}

Začiatok je nestabilný pól špirály, pretože vlastné čísla sú komplexne združené a majú kladnú reálnu časť.

■ Sekcia b.

Najskôr vyčistíme obsah premenných a definujeme nový SODR

```
Clear[x, y]
```

```
sis31b = {x'[t] == x[t] + 5 y[t], y'[t] == -x[t] - y[t]}
```

{x'[t] == x[t] + 5 y[t], y'[t] == -x[t] - y[t]}

Túto sústavu môžeme vyriešiť pomocou príkazu **DSolve**:

```
solgen31b = DSolve[sis31b, {x[t], y[t]}, t]
```

$$\begin{cases} \left\{ x[t] \rightarrow \frac{5}{2} C[2] \sin[2t] + \frac{1}{2} C[1] (2 \cos[2t] + \sin[2t]), \right. \\ \left. y[t] \rightarrow \frac{1}{2} C[2] (2 \cos[2t] - \sin[2t]) - \frac{1}{2} C[1] \sin[2t] \right\} \end{cases}$$

Definujeme riešenie $x(t)$ a $y(t)$:

```
x[t_] = solgen31b[[1, 1, 2]]
```

$$\frac{5}{2} C[2] \sin[2t] + \frac{1}{2} C[1] (2 \cos[2t] + \sin[2t])$$

```
y[t_] = solgen31b[[1, 2, 2]]
```

$$\frac{1}{2} C[2] (2 \cos[2t] - \sin[2t]) - \frac{1}{2} C[1] \sin[2t]$$

Riešenia pre konkrétné hodnoty konštánt c_1 a c_2 vygenerujeme pomocou príkazu **Table**:

```
solpar31b = Table[{x[t], y[t]} /. {C[1] -> i, C[2] -> j}, {i, 2, 8, 3}, {j, 2, 8, 3}]
```

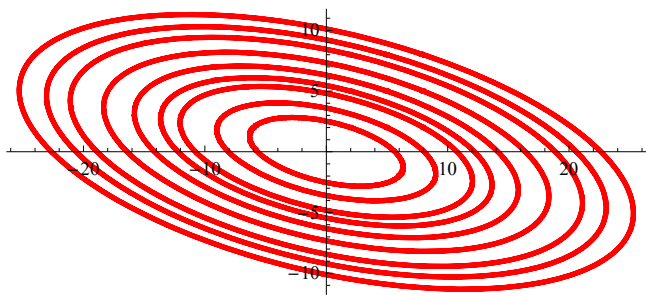
$$\left\{ \begin{array}{l} \left\{ \{2 \cos[2t] + 6 \sin[2t], 2 \cos[2t] - 2 \sin[2t]\}, \right. \\ \left. \left\{ 2 \cos[2t] + \frac{27}{2} \sin[2t], \frac{5}{2} (2 \cos[2t] - \sin[2t]) - \sin[2t] \right\}, \right. \\ \left. \left\{ 2 \cos[2t] + 21 \sin[2t], 4 (2 \cos[2t] - \sin[2t]) - \sin[2t] \right\} \right\}, \\ \left\{ \left\{ 5 \sin[2t] + \frac{5}{2} (2 \cos[2t] + \sin[2t]), 2 \cos[2t] - \frac{7}{2} \sin[2t] \right\}, \right. \\ \left. \left\{ \frac{25}{2} \sin[2t] + \frac{5}{2} (2 \cos[2t] + \sin[2t]), \frac{5}{2} (2 \cos[2t] - \sin[2t]) - \frac{5}{2} \sin[2t] \right\}, \right. \\ \left. \left\{ 20 \sin[2t] + \frac{5}{2} (2 \cos[2t] + \sin[2t]), 4 (2 \cos[2t] - \sin[2t]) - \frac{5}{2} \sin[2t] \right\} \right\}, \\ \left\{ \left\{ 5 \sin[2t] + 4 (2 \cos[2t] + \sin[2t]), 2 \cos[2t] - 5 \sin[2t] \right\}, \right. \\ \left. \left\{ \frac{25}{2} \sin[2t] + 4 (2 \cos[2t] + \sin[2t]), \frac{5}{2} (2 \cos[2t] - \sin[2t]) - 4 \sin[2t] \right\}, \right. \\ \left. \left\{ 20 \sin[2t] + 4 (2 \cos[2t] + \sin[2t]), 4 (2 \cos[2t] - \sin[2t]) - 4 \sin[2t] \right\} \right\} \end{array} \right.$$

Štruktúru predchádzajúcej tabuľky upravíme pomocou príkazu **Flatten**, aby sme vytvorili zoznam funkcií, ktorý môžeme reprezentovať graficky.

```
solpar31bbis = Flatten[solpar31b, 1]
```

$$\left\{ \begin{array}{l} \{2 \cos[2t] + 6 \sin[2t], 2 \cos[2t] - 2 \sin[2t]\}, \\ \left\{ 2 \cos[2t] + \frac{27}{2} \sin[2t], \frac{5}{2} (2 \cos[2t] - \sin[2t]) - \sin[2t] \right\}, \\ \{2 \cos[2t] + 21 \sin[2t], 4 (2 \cos[2t] - \sin[2t]) - \sin[2t]\}, \\ \left\{ 5 \sin[2t] + \frac{5}{2} (2 \cos[2t] + \sin[2t]), 2 \cos[2t] - \frac{7}{2} \sin[2t] \right\}, \\ \left\{ \frac{25}{2} \sin[2t] + \frac{5}{2} (2 \cos[2t] + \sin[2t]), \frac{5}{2} (2 \cos[2t] - \sin[2t]) - \frac{5}{2} \sin[2t] \right\}, \\ \left\{ 20 \sin[2t] + \frac{5}{2} (2 \cos[2t] + \sin[2t]), 4 (2 \cos[2t] - \sin[2t]) - \frac{5}{2} \sin[2t] \right\}, \\ \{5 \sin[2t] + 4 (2 \cos[2t] + \sin[2t]), 2 \cos[2t] - 5 \sin[2t]\}, \\ \left\{ \frac{25}{2} \sin[2t] + 4 (2 \cos[2t] + \sin[2t]), \frac{5}{2} (2 \cos[2t] - \sin[2t]) - 4 \sin[2t] \right\}, \\ \{20 \sin[2t] + 4 (2 \cos[2t] + \sin[2t]), 4 (2 \cos[2t] - \sin[2t]) - 4 \sin[2t]\} \end{array} \right\}$$

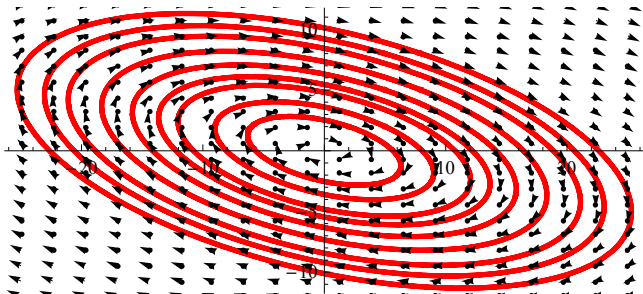
```
graf131b = ParametricPlot[Evaluate[solpar31bbis],
{t, 0, 2π}, PlotStyle -> {{RGBColor[1, 0, 0], Thickness[0.008]}}]
```



V nasledujúcom obrázku sme spoločne reprezentovali riešenie a smerové polia riešenia SODR.

```
graf231b = (Needs["VectorFieldPlots`"];
VectorFieldPlots`VectorFieldPlot[{x + 5 y, -x - y}, {x, -25, 25}, {y, -12, 12},
PlotPoints -> 20, DisplayFunction -> Identity, BaseStyle -> {GrayLevel[0.2]}]);
```

```
Show[graf131b, graf231b]
```



Trajektórie sú uzavorené krvky, v tomto prípade elipsy so stredom v začiatku súradnicovej sústavy. Toto správanie môžeme znova opísť pomocou vlastných čísel matice koeficientov.

Matica zodpovedajúca našej sústave je definovaná:

$$\mathbf{a} = \begin{pmatrix} 1 & 5 \\ -1 & -1 \end{pmatrix}$$

```
{ {1, 5}, {-1, -1} }
```

jej vlastné čísla nájdeme pomocou príkazu:

```
Eigenvalues[a]
```

```
{ 2 I, -2 I }
```

Začiatok súradnicovej sústavy je stabilným stredom, pretože vlastné čísla sú rýdzo imaginárne.

■ Sekcia c.

Najskôr vyčistíme obsah premenných a definujeme nový SODR

```
Clear[x, y]
```

```
sis31c = {x'[t] == x[t] - 5 y[t], y'[t] == -x[t] - y[t]}
```

```
{x'[t] == x[t] - 5 y[t], y'[t] == -x[t] - y[t]}
```

Vyriešime túto sústavu

```
solgen31c = DSolve[sis31c, {x[t], y[t]}, t]
```

$$\begin{cases} \left\{ x[t] \rightarrow \frac{1}{12} e^{-\sqrt{6} t} \left(6 - \sqrt{6} + 6 e^{2\sqrt{6} t} + \sqrt{6} e^{2\sqrt{6} t} \right) C[1] - \frac{5 e^{-\sqrt{6} t} (-1 + e^{2\sqrt{6} t}) C[2]}{2\sqrt{6}}, \right. \\ \left. y[t] \rightarrow -\frac{e^{-\sqrt{6} t} (-1 + e^{2\sqrt{6} t}) C[1]}{2\sqrt{6}} - \frac{1}{12} e^{-\sqrt{6} t} \left(-6 - \sqrt{6} - 6 e^{2\sqrt{6} t} + \sqrt{6} e^{2\sqrt{6} t} \right) C[2] \right\} \end{cases}$$

Riešenia $x(t)$ a $y(t)$ sú definované:

```
x[t_] = solgen31c[[1, 1, 2]]
```

$$\frac{1}{12} e^{-\sqrt{6} t} \left(6 - \sqrt{6} + 6 e^{2\sqrt{6} t} + \sqrt{6} e^{2\sqrt{6} t} \right) C[1] - \frac{5 e^{-\sqrt{6} t} (-1 + e^{2\sqrt{6} t}) C[2]}{2\sqrt{6}}$$

```
y[t_] = solgen31c[[1, 2, 2]]
```

$$-\frac{e^{-\sqrt{6} t} (-1 + e^{2\sqrt{6} t}) C[1]}{2\sqrt{6}} - \frac{1}{12} e^{-\sqrt{6} t} \left(-6 - \sqrt{6} - 6 e^{2\sqrt{6} t} + \sqrt{6} e^{2\sqrt{6} t} \right) C[2]$$

Riešenia pre konkrétné hodnoty konštánt c_1 a c_2 vygenerujeme pomocou príkazu **Table**:

```
solpar31c =
Simplify[Table[{x[t], y[t]} /. {C[1] -> i, C[2] -> j}, {i, 1, 5, 2}, {j, 1, 5, 2}]]
```

$$\left\{ \left\{ \left\{ \frac{1}{6} e^{-\sqrt{6} t} \left(3 + 2\sqrt{6} + (3 - 2\sqrt{6}) e^{2\sqrt{6} t} \right), \frac{1}{6} e^{-\sqrt{6} t} \left(3 + \sqrt{6} - (-3 + \sqrt{6}) e^{2\sqrt{6} t} \right) \right\}, \right. \right.$$

$$\left. \left. \left\{ \frac{1}{6} e^{-\sqrt{6} t} \left(3 + 7\sqrt{6} + (3 - 7\sqrt{6}) e^{2\sqrt{6} t} \right), \frac{1}{6} e^{-\sqrt{6} t} \left(9 + 2\sqrt{6} + (9 - 2\sqrt{6}) e^{2\sqrt{6} t} \right) \right\}, \right. \right.$$

$$\left. \left. \left\{ \frac{1}{2} e^{-\sqrt{6} t} \left(1 + 4\sqrt{6} + (1 - 4\sqrt{6}) e^{2\sqrt{6} t} \right), \frac{1}{2} e^{-\sqrt{6} t} \left(5 + \sqrt{6} - (-5 + \sqrt{6}) e^{2\sqrt{6} t} \right) \right\} \right\}, \right.$$

$$\left. \left. \left\{ \frac{1}{6} e^{-\sqrt{6} t} \left(9 + \sqrt{6} - (-9 + \sqrt{6}) e^{2\sqrt{6} t} \right), \frac{1}{6} e^{-\sqrt{6} t} \left(3 + 2\sqrt{6} + (3 - 2\sqrt{6}) e^{2\sqrt{6} t} \right) \right\}, \right. \right.$$

$$\left. \left. \left\{ \frac{1}{2} e^{-\sqrt{6} t} \left(3 + 2\sqrt{6} + (3 - 2\sqrt{6}) e^{2\sqrt{6} t} \right), \frac{1}{2} e^{-\sqrt{6} t} \left(3 + \sqrt{6} - (-3 + \sqrt{6}) e^{2\sqrt{6} t} \right) \right\}, \right. \right.$$

$$\left. \left. \left\{ \frac{1}{6} e^{-\sqrt{6} t} \left(9 + 11\sqrt{6} + (9 - 11\sqrt{6}) e^{2\sqrt{6} t} \right), \frac{1}{6} e^{-\sqrt{6} t} \left(15 + 4\sqrt{6} + (15 - 4\sqrt{6}) e^{2\sqrt{6} t} \right) \right\} \right\}, \right.$$

$$\left. \left. \left\{ \frac{5}{2} e^{-\sqrt{6} t} \left(1 + e^{2\sqrt{6} t} \right), \frac{1}{2} e^{-\sqrt{6} t} \left(1 + \sqrt{6} - (-1 + \sqrt{6}) e^{2\sqrt{6} t} \right) \right\}, \right. \right.$$

$$\left. \left. \left\{ \frac{5}{6} e^{-\sqrt{6} t} \left(3 + \sqrt{6} - (-3 + \sqrt{6}) e^{2\sqrt{6} t} \right), \frac{1}{6} e^{-\sqrt{6} t} \left(9 + 4\sqrt{6} + (9 - 4\sqrt{6}) e^{2\sqrt{6} t} \right) \right\}, \right. \right.$$

$$\left. \left. \left\{ \frac{5}{6} e^{-\sqrt{6} t} \left(3 + 2\sqrt{6} + (3 - 2\sqrt{6}) e^{2\sqrt{6} t} \right), \frac{5}{6} e^{-\sqrt{6} t} \left(3 + \sqrt{6} - (-3 + \sqrt{6}) e^{2\sqrt{6} t} \right) \right\} \right\}$$

Štruktúru predchádzajúcej tabuľky upravíme pomocou príkazu **Flatten**, aby sme vytvorili zoznam funkcií, ktorý môžeme reprezentovať graficky.

```
solpar31cbis = Flatten[solpar31c, 1]
```

$$\left\{ \left\{ \frac{1}{6} e^{-\sqrt{6} t} \left(3 + 2\sqrt{6} + (3 - 2\sqrt{6}) e^{2\sqrt{6} t} \right), \frac{1}{6} e^{-\sqrt{6} t} \left(3 + \sqrt{6} - (-3 + \sqrt{6}) e^{2\sqrt{6} t} \right) \right\}, \right.$$

$$\left. \left\{ \frac{1}{6} e^{-\sqrt{6} t} \left(3 + 7\sqrt{6} + (3 - 7\sqrt{6}) e^{2\sqrt{6} t} \right), \frac{1}{6} e^{-\sqrt{6} t} \left(9 + 2\sqrt{6} + (9 - 2\sqrt{6}) e^{2\sqrt{6} t} \right) \right\}, \right.$$

$$\left. \left\{ \frac{1}{2} e^{-\sqrt{6} t} \left(1 + 4\sqrt{6} + (1 - 4\sqrt{6}) e^{2\sqrt{6} t} \right), \frac{1}{2} e^{-\sqrt{6} t} \left(5 + \sqrt{6} - (-5 + \sqrt{6}) e^{2\sqrt{6} t} \right) \right\}, \right.$$

$$\left. \left\{ \frac{1}{6} e^{-\sqrt{6} t} \left(9 + \sqrt{6} - (-9 + \sqrt{6}) e^{2\sqrt{6} t} \right), \frac{1}{6} e^{-\sqrt{6} t} \left(3 + 2\sqrt{6} + (3 - 2\sqrt{6}) e^{2\sqrt{6} t} \right) \right\}, \right.$$

$$\left. \left\{ \frac{1}{2} e^{-\sqrt{6} t} \left(3 + 2\sqrt{6} + (3 - 2\sqrt{6}) e^{2\sqrt{6} t} \right), \frac{1}{2} e^{-\sqrt{6} t} \left(3 + \sqrt{6} - (-3 + \sqrt{6}) e^{2\sqrt{6} t} \right) \right\}, \right.$$

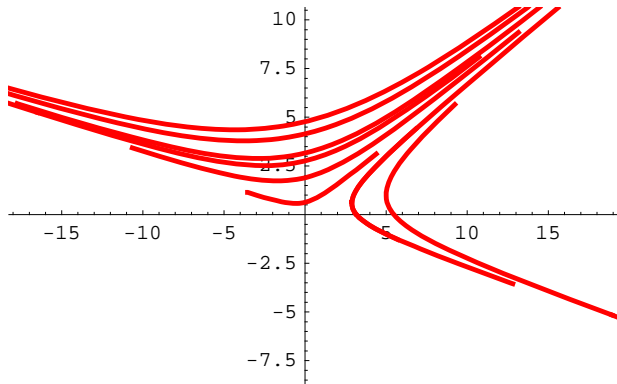
$$\left. \left\{ \frac{1}{6} e^{-\sqrt{6} t} \left(9 + 11\sqrt{6} + (9 - 11\sqrt{6}) e^{2\sqrt{6} t} \right), \frac{1}{6} e^{-\sqrt{6} t} \left(15 + 4\sqrt{6} + (15 - 4\sqrt{6}) e^{2\sqrt{6} t} \right) \right\}, \right.$$

$$\left. \left\{ \frac{5}{2} e^{-\sqrt{6} t} \left(1 + e^{2\sqrt{6} t} \right), \frac{1}{2} e^{-\sqrt{6} t} \left(1 + \sqrt{6} - (-1 + \sqrt{6}) e^{2\sqrt{6} t} \right) \right\}, \right.$$

$$\left. \left\{ \frac{5}{6} e^{-\sqrt{6} t} \left(3 + \sqrt{6} - (-3 + \sqrt{6}) e^{2\sqrt{6} t} \right), \frac{1}{6} e^{-\sqrt{6} t} \left(9 + 4\sqrt{6} + (9 - 4\sqrt{6}) e^{2\sqrt{6} t} \right) \right\}, \right.$$

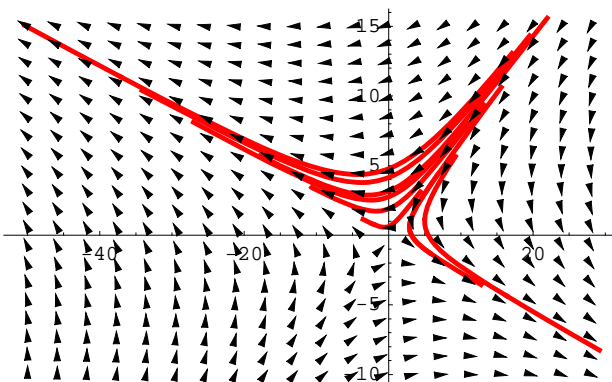
$$\left. \left\{ \frac{5}{6} e^{-\sqrt{6} t} \left(3 + 2\sqrt{6} + (3 - 2\sqrt{6}) e^{2\sqrt{6} t} \right), \frac{5}{6} e^{-\sqrt{6} t} \left(3 + \sqrt{6} - (-3 + \sqrt{6}) e^{2\sqrt{6} t} \right) \right\} \right\}$$

```
graf131c = ParametricPlot[Evaluate[solpar31cbis],
{t, -0.5^, 1}, PlotStyle -> {{RGBColor[1, 0, 0], Thickness[0.008^]}}]
```



V nasledujúcom obrázku sme spoločne reprezentovali riešenie a smerové polia riešenia SODR.

```
graf231c = (Needs["VectorFieldPlots`"];
VectorFieldPlots`VectorFieldPlot[{x - 5 y, -x - y}, {x, -50, 28}, {y, -10, 15},
PlotPoints -> 20, DisplayFunction -> Identity, BaseStyle -> {GrayLevel[0.2^]}]);
Show[graf131c, graf231c]
```



Vypočítame vlastné čísla matice zodpovedajúce našej sústave, aby sme mohli vysvetliť povahu kritického bodu.

Matica zodpovedajúca SODR je:

$$\mathbf{a} = \begin{pmatrix} 1 & -5 \\ -1 & -1 \end{pmatrix}$$

$$\{\{1, -5\}, \{-1, -1\}\}$$

Vypočítame vlastné čísla:

Eigenvalues[a]

$$\{-\sqrt{6}, \sqrt{6}\}$$

Začiatok súradnicovej sústavy je sedlový bod, pretože vlastné čísla sú reálne a majú opačné znamienka.

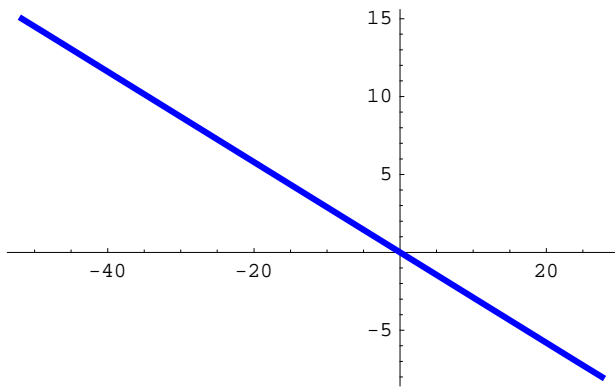
Vypočítame vlastné vektory, ktorými sú reprezentované priamky v zodpovedajúcich smeroch.

Eigenvectors[a]

$$\left\{ \left\{ -1 + \sqrt{6}, 1 \right\}, \left\{ -1 - \sqrt{6}, 1 \right\} \right\}$$

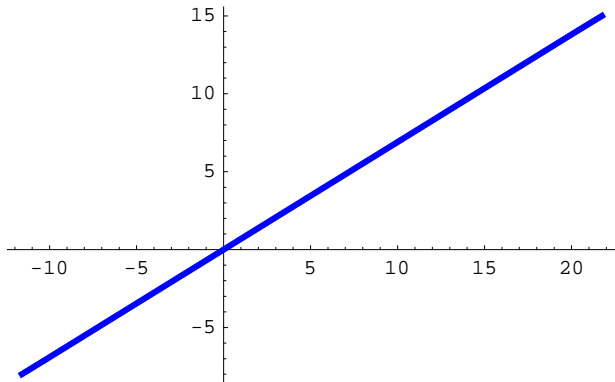
Priamka vlastného vektora, ktorý zodpovedá zápornému vlastnému číslu je

```
graf331c = ParametricPlot[{{(-1 - Sqrt[6]) t, t},  
{t, -8, 15}, PlotStyle -> {RGBColor[0, 0, 1], Thickness[0.01`]}]
```



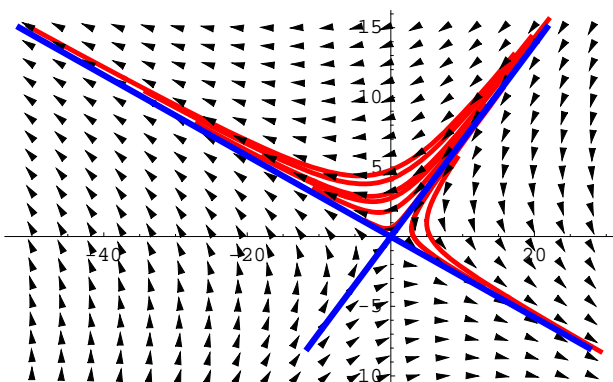
Priamka vlastného vektora, ktorý zodpovedá kladnému vlastnému číslu je

```
graf431c = ParametricPlot[{{(-1 + Sqrt[6]) t, t},  
{t, -8, 15}, PlotStyle -> {RGBColor[0, 0, 1], Thickness[0.01`]}]
```



a oba grafy spolu:

```
Show[graf131c, graf231c, graf331c, graf431c]
```



Môžeme povedať, že akákoľvek trajektória začínajúca v bode na priamke, ktorá zodpovedá zápornému vlastnému číslu, zostáva nad ňou a blíži sa k začiatku súradnicovej sústavy. Každá trajektória začínajúca v bode na priamke, ktorá zodpovedá kladnému vlastnému číslu, zostáva pod touto priamkou a tiež sa blíži k začiatku súradnicovej sústavy.